

چکیده

در این مقاله، الگوی بزرگنمایی پاسخ لرزه‌ای سطح زمین همگن و همسان در حضور تونل‌های زیرزمینی نعل اسپی شکل بدون پوشش تحت امواج مهاجم مایل SH ارائه شده است. از روش عددی اجزایی مرزی نیم‌صفحه^۱ در حوزه‌ی زمان که قادر است مشبندی را تنها بر روی مرز پیرامون حفره متعمد سازد، برای مدلسازی و تحلیل لرزه‌ای بهره گرفته شده است. از مشخصات هندسی تونل خط دوم متروی کرج برای مطالعات پارامتریک استفاده شده است. موج مهاجم از نوع موجک ریکر^۲ با مشخصات مفروض در نظر گرفته شده است. موج مهاجم از عمق تونل، موقعیت افقی آن و زاویه‌ی موج مهاجم از جمله پارامترهایی هستند که مورد حساسیت‌سنجی قرار گرفته‌اند. از مقایسه‌ی نتایج حاصل با دستاوردهای تحلیلی دیگر محققان، دقت مطلوب روش پیشنهاد شده در مدلسازی تونل‌های نعل اسپی مبین شد. همچنین مشاهده شد که حضور تونل‌های زیرزمینی در عمق‌ها و موقعیت‌های مختلف بر روی شکل‌گیری الگوی متفاوت پاسخ لرزه‌ای سطح زمین مؤثر است. استفاده از روش اجزایی مرزی نیم‌صفحه در حوزه‌ی زمان برای مدلسازی سازه‌های زیرزمینی، جایگزین با دیگر روش‌های عددی پیشین و بهره گیری از نتایج حاصل جهت تکمیل و تدقیق آین نامه‌های لرزه‌ای موجود توصیه می‌شود.

واژگان کلیدی: تونل زیرزمینی نعل اسپی، اجزایی مرزی نیم‌صفحه، حوزه‌ی زمان، الگوی بزرگنمایی، موج SH.

الگوی بزرگنمایی لرزه‌ای سطح زمین در حضور تونل زیرزمینی نعل اسپی تحت امواج مهاجم SH

مهندی پنجی (نویسنده مسئول)

استادیار، دانشگاه آزاد اسلامی واحد زنجان،
زنجان، ایران
m.panji@iauz.ac.ir

امیرعباس فخرآور

دانشجوی کارشناسی ارشد، دانشگاه آزاد اسلامی واحد زنجان،
زنجان، ایران

۱- مقدمه

زیرسطحی و تعیین پاسخ سطح زمین به روش‌های مختلف اشاره شده است. هرچند در بررسی اثرات ساختگاه در حضور تونل‌های زیرزمینی مطالعات تجربی چون اسکارلاتو و همکاران [۱] و کاظمینی و همکاران [۲] به چشم می‌خورد؛ اما به طور کلی روش‌های تحلیل لرزه‌ای عوارض توپوگرافی به سه دسته روش تحلیلی، نیمه‌تحلیلی و عددی قابل تقسیم‌بندی است [۳].

اگرچه در روش‌های تحلیلی یا نیمه‌تحلیلی دقت پاسخ‌ها بیشتر و تقریب استفاده شده در مسئله کمتر است ولی مدل‌ها محدود به یک سری هندسه‌های ساده یا غیرمرکب می‌شوند. اولین بار آسانو در سال ۱۹۶۰ [۴] و پس از آن داتا در سال ۱۹۷۴ [۵] اثرات توپوگرافی را تحت امواج هارمونیک SH با استفاده از روش‌های تحلیلی مورد بررسی قرار دادند. با گسترش روش‌های

بررسی عوامل مخرب در طی وقوع پدیده زلزله همواره از موضوعات قابل توجه محققان بوده است. در این میان اثرات محلی ساختگاه یکی از تعیین‌کننده‌ترین پارامترها در زلزله می‌باشد که اهمیت و پیچیدگی آن، محققان را به بررسی جامع تر این مسئله سوق می‌دهد. از یک سو توسعه‌ی صنعت حمل و نقل و از سوی دیگر بافت شهرهای بزرگ، اهمیت حضور سازه‌ها و تونل‌های زیرزمینی از قبیل تونل‌های مترو را دو چندان ساخته است؛ بنابراین شناخت رفتار سطح زمین در حضور بازشدنگی‌های زیرزمینی از جمله مطالعات پیشگام در احداث هرگونه سازه‌های سطحی محسوب می‌شود. در این راستا مدلسازی ساده و دقیق این قسم عوارض زیرسطحی همواره از نیازهای مبرم به شمار می‌رود. در ادبیات فنی برای تحلیل لرزه‌ای عوارض توپوگرافی

ارزیابی پایداری ایستگاه مولد برق هو زیان تأثیر مغارها را در رفتار محیط پیرامون آن بررسی کردند.

هرچند روش‌های حجمی^۶ از یک سو از دقت مناسب و سهولت در فرمول‌بندی برخوردارند و از سوی دیگر دامنه‌ی وسیعی از مسائل را تحت الشاع قرار می‌دهند، اما در بررسی مسائل با مرزهای نامحدود و نیمه نامحدود شامل حجم محاسباتی بالا و پیچیدگی در مدل می‌شوند؛ بنابراین عرصه برای حضور روش‌های مرزی ممکن است شود. در این روش‌ها که روش اجزای مرزی^۷ (BEM) از نام آشنا ترین آنهاست، تنها مرزهای پیرامون جسم مش‌بندی می‌شوند. گرچه روش‌های مرزی شامل محدودیت‌هایی از قبیل عدم توسعه‌ی کافی برای تحلیل محیط‌های غیرخطی و مسائل پلاستیک می‌شود، ولیکن با توجه به اقناع خودکار شرایط تشعشع امواج در بی‌کران در بطن فرمول‌بندی، از جمله روش‌های مناسب در تحلیل دینامیکی خطی به حساب می‌آید [۲۹]. روش اجزای مرزی برای مدل‌سازی حفرات زیرسطحی و تونل‌های زیرزمینی تحت امواج لرزه‌ای به کار گرفته شده است. لوکو و دباروس [۳۰]، یو و دراوینسکی [۳۱]، پارونووا و همکاران [۳۲] و لیو و لیو [۳۳] با استفاده از روش اجزای مرزی محیط کامل در حوزه‌ی فرکانس تأثیر حفرات زیرسطحی را بر روی پاسخ لرزه‌ای سطح زمین نشان دادند. بینتر و همکاران [۳۴] پاسخ سطح زمین را در حضور حفرات چندگانه به کمک روش اجزای مرزی نیم صفحه در حوزه‌ی فرکانس تعیین نمودند. به جهت برخوردار شدن مزایایی چون تحلیل غیرخطی مسائل مختلف در ترکیب با دیگر روش‌های عددی، حصول پاسخ‌های حقیقی و تحلیل مسائل با هندسه‌ی وابسته به زمان، روش اجزای مرزی به حوزه‌ی زمان نیز توسعه داده شده است. روش اجزای مرزی محیط کامل در حوزه‌ی زمان توسط تاکمیا و فوجیوارا [۳۵] و کمالیان و همکاران [۳۶-۳۹] در تحلیل عوارض توپوگرافی سطحی و علی‌الهی و همکاران [۴۰] برای حفرات زیرسطحی به کار گرفته شده است. روش اجزای مرزی نیم صفحه در حوزه‌ی زمان توسط محققانی چون رایس و سد

بسط تابع موج و باقیمانده‌های وزن‌دار^۸، این روش‌های تحلیلی مورد استفاده اکثر محققان قرار گرفت که از آن جمله می‌توان به گیمر [۶]، لی و تریفوناک [۷]، چن [۸]، داتا و شاه [۹]، لی و منوگیان [۱۰]، منوگیان [۱۱]، لیانگ و همکاران [۱۲]، یی و همکاران [۱۳]، آمورنونگپاییون و همکاران [۱۴] و گائو و همکاران [۱۵] در تحلیل تونل‌های زیرزمینی تحت امواج مهاجم SH اشاره کرد. از دیگر روش‌های تحلیلی مورد استفاده محققان، روش مختصات چند قطبی است که از مطالعات انجام گرفته با این روش می‌توان از پژوهش وانگ و لیو [۱۶] و شی و همکاران [۱۷] نام برد. در این میان مطالعات تحلیلی انجام شده توسط لی و همکاران [۱۸] و اسمرزینی و همکاران [۱۹] به کمک بسط تابع بسل، لیو و لین [۲۰] و تسائور و چانگ [۲۱] با استفاده از روش تطابق ناحیه‌ای قابل ذکر می‌باشد.

از سوی دیگر روش‌های عددی حجمی در تحلیل لرزه‌ای عوارض توپوگرافی و تعیین پاسخ سطح زمین در حضور تونل‌های زیرزمینی توسعه داده شده است. لی و روو [۲۲] با استفاده از روش اجزای محدود^۹ (FEM) تغییر مکان سطح زمین را در فرآیند حفاری تونل نشان دادند. مولینزو و همکاران [۲۳] با مدل‌سازی دینامیکی به وسیله‌ی روش اجزای محدود به بررسی اثر جربان آب بر رفتار تونل پرداختند. یوتامیتا و همکاران [۲۴] به کمک روش اختلاف محدود^{۱۰} (FDM) اهمیت حضور سازه‌های زیرزمینی را بر روی پاسخ لرزه‌ای سطح زمین و سازه‌های رو سطحی مجاور بررسی کردند. بشارت و همکاران [۲۵] به کمک روش اختلاف محدود اثر حضور سازه‌های زیرزمینی را طی وقوع زلزله با در نظر گرفتن تونل صدر نیاش به عنوان مطالعه موردنی، ارزیابی نمودند. با مدل‌سازی عددی و در نظر گرفتن تونل متروی کرج به عنوان مطالعه موردنی، دهقان و همکاران [۲۶] به تحلیل پایداری آن با استفاده از روش تحلیل برگشتی پرداختند. شن و همکاران [۲۷] سازوکار آسیب‌های لرزه‌ای و پارامترهای تغییر شکل دینامیکی تونل‌های کوهستانی را پس از زلزله و نچوان نشان دادند. سو و همکاران [۲۸] با

$$\mu \frac{\partial u(x,y,t)}{\partial n} |_{y=0} = 0 \quad (2)$$

که در این معادلات c سرعت موج برشی، $(u(x,y,t))$ و $b(x,y,t)$ به ترتیب تغییر مکان و نیروهای حجمی خارج از صفحه در مختصات (x,y) و زمان t ، مدول برشی و n بردار نرمال سطح زمین می‌باشد. از حل منفرد معادله (1) و با در نظر گرفتن شرایط مرزی (2) حل اساسی نیم صفحه در حوزه‌ی زمان حاصل خواهد شد [۴۵]. لازم به ذکر است برای اعمال شرایط مرزی از روش تصویر منبع موج بهره گرفته شده است [۴۴-۴۵]. معادله‌ی انتگرال مرزی در حوزه‌ی زمان نیز از انتگرال گیری معادله‌ی باقیمانده‌های وزن دار با چشم‌پوشی از جملات حجمی و شرایط اولیه و با در نظر گرفتن اصول پراکنش امواج در یک نیم صفحه به صورت زیر به دست می‌آید [۵۱-۵۳]:

$$c(\xi)u(\xi, t) = \int_{\Gamma} \left\{ \int_0^t \left[(u^*(x, t; \xi, \tau) \cdot q(x, \tau)) - (q^*(x, t; \xi, \tau) \cdot u(x, \tau)) \right] d\tau \right\} d\Gamma(x) + u^{ff}(\xi, t) \quad (3)$$

که در این معادله u^* حل اساسی تغییر مکان نیم صفحه در موقعیت x و زمان حاضر t تحت یک پالس واحد خارج از صفحه در موقعیت ξ و زمان τ می‌باشد. q حل اساسی تنش نیم صفحه حاصل از مشتق حل اساسی تغییر مکان نسبت به امتداد قائم را می‌بینی سازد. u و q به ترتیب مقادیر تغییر مکان و تنش مرزی، (ξ) زاویه‌ی شکست مرزی و (x) نشانگر مرز محیط مورد نظر است. u^{ff} حرکت آزاد سطح زمین در شرایط همسان و همگن می‌باشد که شرایط مرزی را نیز اقتاع می‌کند. برای حل معادله (3) لازم است محور زمان و مرز هندسی جسم گستته شوند. با گستته‌سازی محور زمان از 0 تا t به N بازه مساوی با حد فاصل Δt و با مد نظر قرار دادن تغییرات خطی در هر بازه زمانی، اثر انتگرال در بازه زمان بر حل‌های اساسی به صورت تحلیلی قابل بررسی است. از همپوشانی گره‌های زمانی مجاور و حذف جملات منفرد ظاهری جبهه‌ی موج برای معادله فوق خواهیم داشت:

[۴۱]، بليچکو و چانگ [۴۲]، هيراي [۴۳] و پنجي [۴۴] پيشنهاد شده و توسط پنجي و همکاران [۴۵-۴۸] در تحليل لرزه‌ای عوارض توپوگرافی سطحی و زیرسطحی مرکب مورد استفاده قرار گرفته است.

چنانچه مروری بر ادبیات فنی نشان داد هنوز تأثیر تونل‌های زیرزمینی نعل اسپی بر روی پاسخ لرزه‌ای سطح زمین مورد حساسیت‌سنجی دقیق قرار نگرفته است؛ بنابراین، در این مقاله محققان بر آن شدند تا با استفاده از روش اجزای مرزی نیم صفحه در حوزه‌ی زمان به تعیین الگوی بزرگنمایی پاسخ سطح زمین در حضور حفرات نعل اسپی بدون پوشش در برابر امواج مهاجم مایل SH پردازنند. در این میان مشخصات هندسی تونل خط دوم متروی کرج که پيش‌تر توسط دهقان و همکاران [۲۶] و کاظمياني و همکاران [۲] به ترتیب تحت تحليل استاتيکي و تجربی قرار گرفت، به عنوان مطالعه‌ی پارامتریک در نظر گرفته شده است. ابتدا ضمن صحت‌سنجی برخی از نتایج حاصل با پاسخ‌های تحلیلی در دسترس، پاسخ سطح زمین و الگوی بزرگنمایی حاصل در حضور تونل متروی کرج در دو حوزه‌ی زمان و فرکانس ارائه شده است. در این راستا زاویه‌ی موج مهاجم، فرکانس بی‌بعد^۴ پاسخ، عمق استقرار تونل و موقعیت افقی استقرار آن به عنوان پارامترهای مزبور مورد بررسی قرار گرفته است. سهولت در مدلسازی سازه‌های زیرزمینی واقعی و دقت مناسب پاسخ‌ها در استفاده از روش اجزای مرزی نیم صفحه در حوزه‌ی زمان و استخراج برخی گراف‌ها و جداول پیرامون تکمیل و تدقیق آین نامه‌های لرزه‌ای موجود، از اهداف بارز این تحقیق به شمار می‌رود.

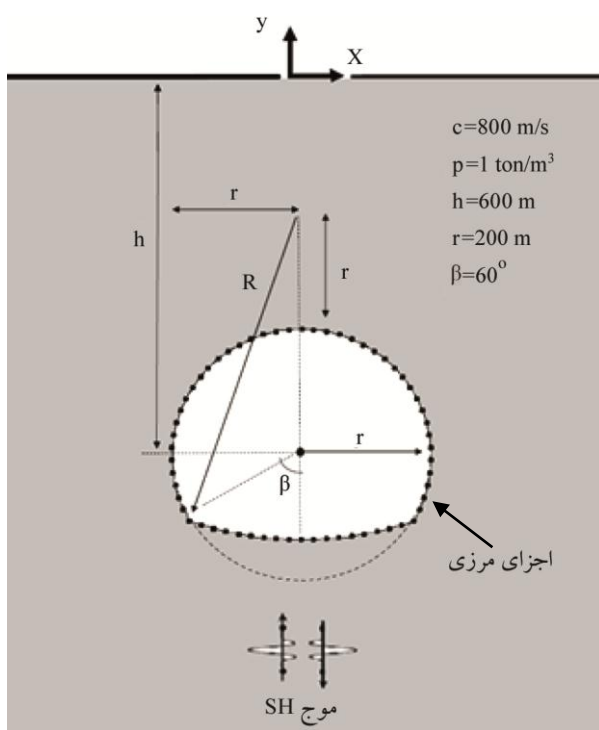
۲- اجزاء مرزی نیم صفحه در حوزه‌ی زمان

معادله اسکالر دو بعدی موج و شرایط مرزی حاکم بر سطح زمین برای یک محیط الاستیک خطی همگن و همسان به ترتیب مطابق زیر معرفی می‌شود [۴۹-۵۰]:

$$\frac{\partial^2 u(x,y,t)}{\partial x^2} + \frac{\partial^2 u(x,y,t)}{\partial y^2} + b(x, y, t) = \frac{1}{c^2} \frac{\partial^2 u(x,y,t)}{\partial t^2} \quad (1)$$

۳- صحت سنجی

پس از عددی سازی فرمول بندی ارائه شده در فوق در یک الگوریتم جامع موسوم به داس بم (DASBEM)^۹، پیرامون اعتبار سنجی، از یک تونل نعل اسیبی تحت امواج مهاجم SH مطابق شکل (۱) استفاده شده است. چنانچه مشاهده می شود برای مدل سازی این تونل به کمک روش اجزای مرزی نیم صفحه در حوزه زمان تنها گسسته سازی مرز پیرامون آن کفایت می نماید.



شکل (۱): مدل شماتیک مشبندی شده حفره هی نعل اسیبی با استفاده از روش اجزای مرزی نیم صفحه در حوزه زمان.

با توجه به اینکه مسئله مذبور اخیراً توسط گائو و همکاران [۱۵] به صورت تحلیلی حل شده است، لذا این مطالعه به عنوان بنچ مارک مورد بررسی قرار گرفته است. موج مهاجم ورودی از نوع تابع موج ک ریکر و از جنس حرکت آزاد سطح زمین فرض شده است. در شکل (۲) نمونه ای از موج ورودی محرك برای یک نقطه از دیواره حفره در حوزه زمان نشان داده شده است. تابع موج ک ریکر با در نظر گرفتن اثر اختلاف فاز حاصل از عمق استقرار گره مرزی و انعکاس از سطح زمین به صورت زیر

$$c(\xi)u^N(\xi) = \quad (4)$$

$$\sum_{n=1}^N \int_{\Gamma} \left\{ [U_1^{N-n+1}(x, \xi) + U_2^{N-n}(x, \xi)]q^n(x) - \right\} d\Gamma(x) + u^{ff,N}(\xi, t)$$

که در این معادله $Q_1^{N-n+1} + Q_2^{N-n}$ به ترتیب هسته های دینامیکی نیم صفحه تغییر مکان و تنش برای معادله ای اسکالر موج هستند که توسط پنجی و همکاران [۴۸، ۴۵] به صورت حل بسته ارائه شده است. همچنین $u^{ff,N}$ تغییر مکان میدان آزاد سطح زمین در گام زمانی N و u^N و q^N نیز به ترتیب بردار های تغییر مکان و تنش گره های مرزی می باشند. با گسسته سازی مرز هندسی جسم به وسیله ای اجزای ایزو پارامتریک درجه دو و انجام انتگرال گیری عددی گوس و لگاریتمی ویژه به ترتیب برای انتگرال های غیر منفرد و منفرد، معادله (۴) به شکل ماتریسی زیر به دست می آید:

$$\sum_{n=1}^N H^{N-n+1}\{u^n\} = \sum_{n=1}^N G^{N-n+1}\{q^n\} + \{u^{ff,N}\} \quad (5)$$

در این معادلات ماتریس های H^{N-n+1} و G^{N-n+1} به ترتیب از انتگرال گیری عددی هسته های نیم صفحه تنش و تغییر مکان بر روی اجزای مرزی به دست می آیند. پس از اعمال شرایط مرزی حاکم در گره ها و آرایش ستون های متناظر با مقادیر مجھول مرزی در سمت چپ معادله فوق، برای شکل قابل حل آن می توان نوشت:

$$[A_1^1]\{X^N\} = [B_1^1]\{Y^N\} + \{R^N\} + \{u^{ff,n}\} \quad (6)$$

در این معادله X^N و Y^N به ترتیب بیانگر مقادیر مجھول و معلوم مرزی و R^N اثر تاریخچه زمانی لحظات پیشین گره زمانی N مطابق زیر می باشد:

$$\{R^N\} = \sum_{n=1}^{N-1} (G^{N-n+1}\{q^n\} - H^{N-n+1}\{u^n\}) \quad (7)$$

با حل معادله (۶) و تعیین همه پاسخ ها، با برابر واحد قرار دادن زاویه شکست مرزی در معادله (۳)، تغییر مکان هر نقطه درونی از محیط نیم صفحه از آن جمله سطح صاف زمین قابل استخراج می باشد.

موجک ریکر به ترتیب ۳ هرتز، $2/4$ ثانیه و $0/001$ متر در نظر گرفته شده است. با توجه به اینکه در حوزه‌ی فرکانس نتایج بر حسب فرکانس بی بعد قابل ارائه می‌باشد، لذا برای این پارامتر خواهیم داشت:

$$\eta = \frac{\omega r}{\pi c} \quad (11)$$

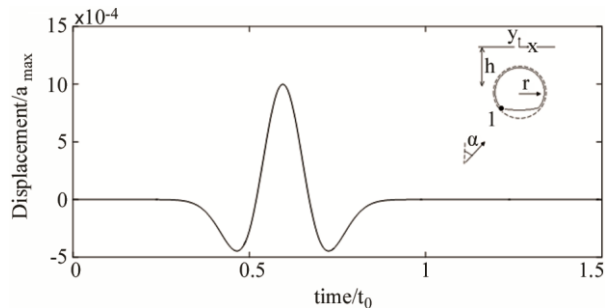
به طوری که η فرکانس بی بعد، ω فرکانس زاویه‌ای موج مهاجم، r شعاع حفره و c سرعت موج بررشی است. شکل (۳) پاسخ نرمال شده (نسبت دامنه فوریه پاسخ به دامنه فوریه موج مهاجم) سطح زمین و مجاور آن را به ترتیب در فرکانس‌های بی بعد ۱ و ۴ و حتی زوایای مختلف موج مهاجم SH، در مقایسه با نتایج تحلیلی گائو و همکاران [۱۵] نشان می‌دهد. چنانچه ملاحظه می‌شود نتایج از دقت مطلوب برخوردار است.

۴- مطالعه‌ی پارامتریک

به عنوان مطالعه‌ی پارامتریک از مشخصات هندسی تونل نعل اسپی بدون پوشش متروی کرج [۲۶] شامل ۴ کمان دایره‌ای با شعاع‌های متفاوت مطابق شکل (۴) در نظر گرفته شده است. چنانچه مشاهده می‌شود تمامی پارامترهای طول نسبت به شعاع r بی بعد شده است. در ادامه ضمن ارائه متدولوژی تحقیق، برخی از پاسخ‌های حاصل از مطالعه‌ی پارامتریک در دو حوزه‌ی زمان و فرکانس نشان داده شده است.

۴-۱- متدولوژی مطالعه

برای مطالعه‌ی پارامتریک، مطابق شکل (۴) تونل مزبور با شعاع (r) برابر 200 متر در عمق متغیر مدفون (h) مدل‌سازی شده است. پارامترهای نسبت عمق $(DR=h/r)$ و نسبت موقعیت افقی ($LR=b/r$) تعریف شده است. مقادیر $1/25, 2/5, 3/75$ و 5 برای نسبت عمق، مقادیر $1, 2$ و 4 برای نسبت موقعیت افقی و مقادیر $0, 30, 60$ و 90 درجه برای زاویه‌ی موج مهاجم در نظر گرفته شده است. پیرامون حصول پاسخ‌های دقیق، فاصله



شکل (۲): مشخصات موج مهاجم SH از نوع موجک ریکر در نقطه‌ی ۱ (دیواره تونل).

قابل ارائه می‌باشد [۴۵]:

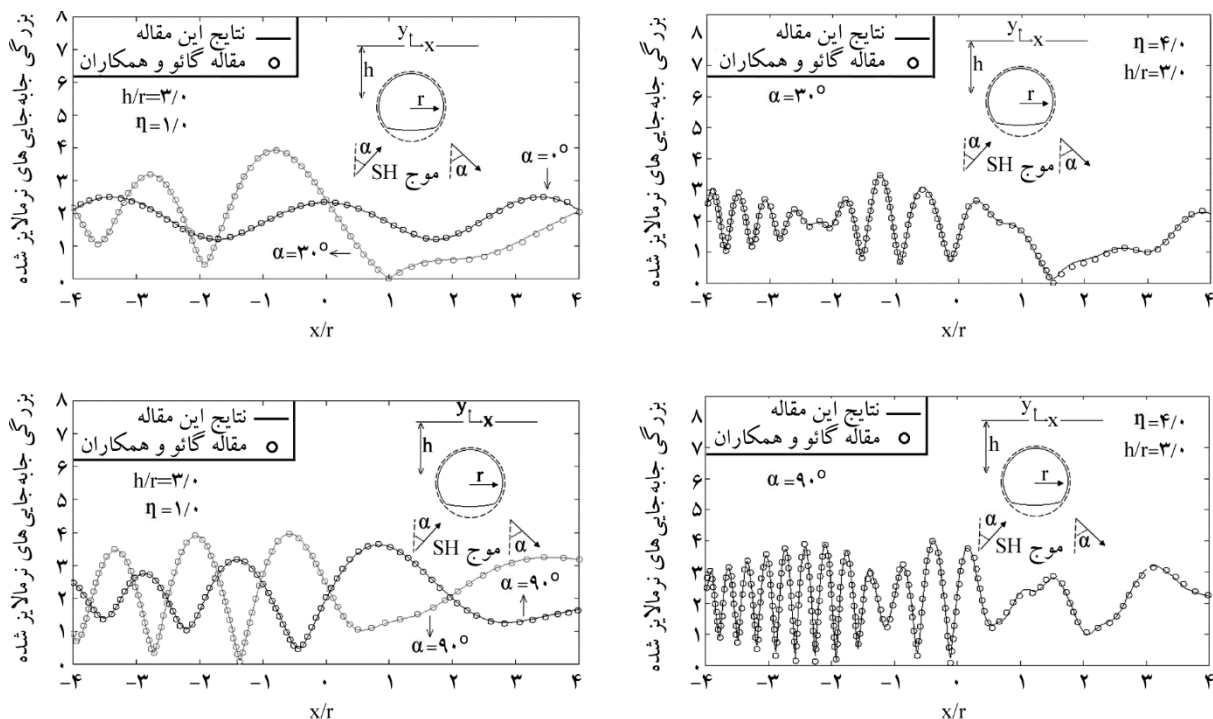
$$u^{ff}(y,t) = a_{max} \cdot \left(\left[1 - 2 \left(\frac{\pi f_p}{c} \alpha^{inc.} \right)^2 \right] e^{-\left(\frac{\pi f_p}{c} \alpha^{inc.} \right)^2} + \left[1 - 2 \left(\frac{\pi f_p}{c} \alpha^{ref.} \right)^2 \right] e^{-\left(\frac{\pi f_p}{c} \alpha^{ref.} \right)^2} \right) \times H\left(t - \frac{|y|}{c}\right) \quad (8)$$

در این معادله a_{max} دامنه‌ی حداکثر تاریخچه زمانی، f_p فرکانس غالب موج ورودی، H تابع هویساید^۱، $\alpha^{inc.}$ و $\alpha^{ref.}$ نیز به ترتیب اختلاف فاز موج مهاجم و انعکاس یافته مطابق زیر است:

$$\alpha^{inc.} = c(t - t_0) + |y| \quad (9)$$

$$\alpha^{ref.} = c(t - t_0) - |y| \quad (10)$$

به طوری که t_0 زمان متناظر با دامنه‌ی حداکثر تاریخچه زمانی موج می‌باشد. شایان ذکر است برای احراز شرایط مرزی تنش آزاد سطح صاف زمین، لازم است تابع موج ورودی (معادله ۸) شامل دو مؤلفه موج مستقیم و انعکاس یافته باشد. با توجه به مقادیر مفروض در شکل (۱) برای حفره‌ی مورد مطالعه، فاصله‌ی در محدوده‌ی مورد بررسی ($-4r \leq x \leq 4r$) نقطه درونی گره‌های پیرامون حفره 20 متر فرض شده و بر روی سطح زمین تعریف شده است. این مسئله با 200 گام زمانی $0/025$ ثانیه حل شده است. مقدار فرکانس غالب، پارامتر شیفت زمانی و حداکثر دامنه



شکل (۳): پاسخ سطح زمین حاصل از مطالعه‌ی عددی حاضر در مقایسه با نتایج تحلیلی گائو و همکاران [۱۵] برای فرکانس‌های بی‌بعد ۱ و ۴ تحت امواج مهاجم SH با زوایای مختلف.

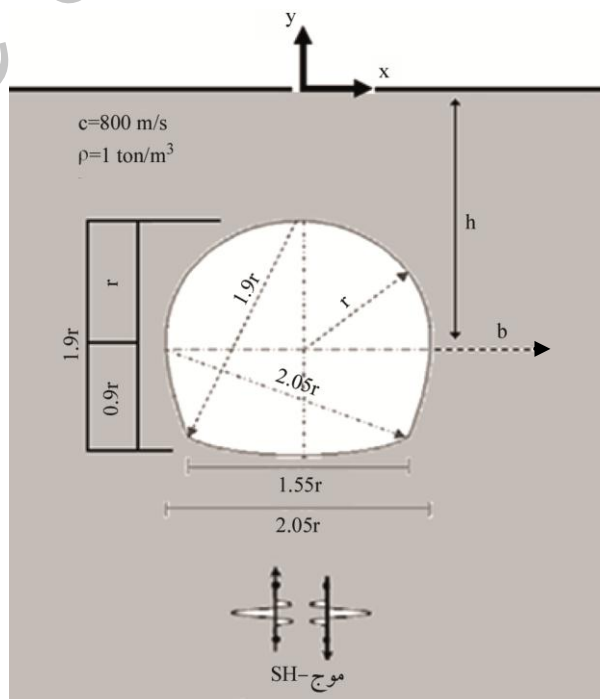
زمین و مؤلفه‌ی بزرگنمایی مورد بررسی قرار گرفته است. مشخصات صالح نیز مطابق شکل (۴)، برای سرعت موج بر Shi و دانسیت به ترتیب 800 m/s و 1 ton/m^3 اند. بر متر مکعب فرض شده است.

۲-۴-۱) اثر نسبت عمق

برای بررسی پارامتر نسبت عمق چهار مقدار متفاوت مطابق فوق تحت بررسی قرار گرفت که در هر عمق، امواج مهاجم SH در زوایای مختلف به تونل تابانده شده است.

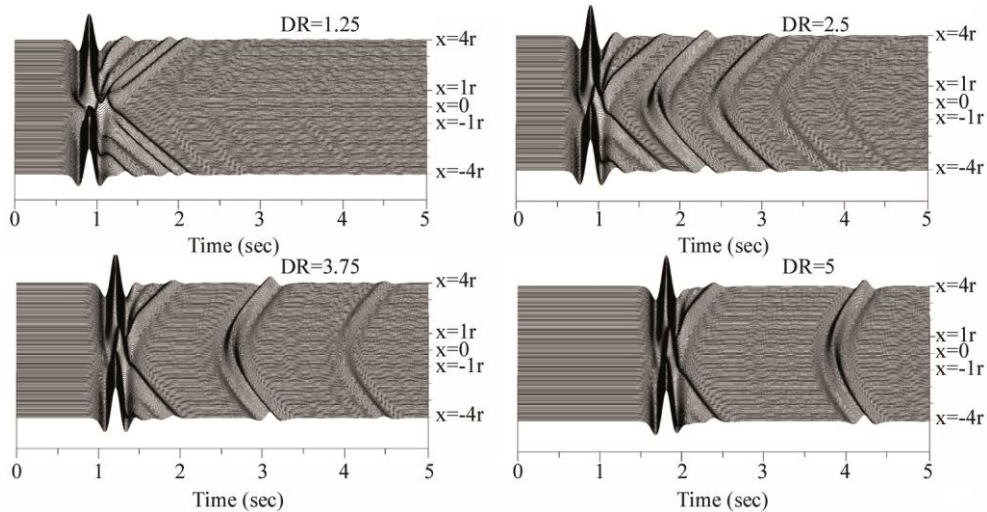
۲-۴-۱) پاسخ در حوزه‌ی زمان

در شکل (۵) اثر نسبت عمق در الگوی کلی پاسخ تاریخچه زمانی سطح زمین نشان داده شده است. چنانچه مشاهده می‌شود در کمترین نسبت عمق، آشفتگی و تفرق روی سطح زمین بالای حفره بیشتر از اعمق دیگر می‌باشد. در عمق مزبور، آشفتگی بحرانی تقریباً در مدت کوتاهی اتفاق افتاده و سپس دامنه‌ی



شکل (۴): مشخصات هندسی تونل متروی کرج و حومه [۲۶].

گره‌ها برابر 5 m و گام زمانی 0.25 s در تحلیل لحاظ شده است. مطالعه‌ی پارامتریک برای تعیین پاسخ نرمال شده سطح



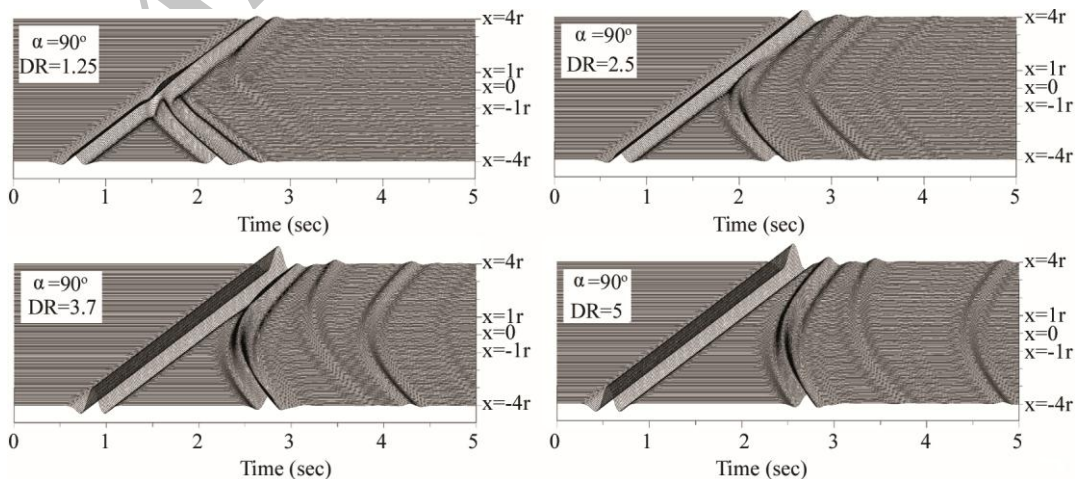
شکل (۵): الگوی کلی پاسخ تاریخچه زمانی سطح زمین ناشی از حضور تونل نعل اسپی در اعمق مختلف در برابر هجوم امواج قائم SH ($\alpha = 0^\circ$).

کوچک‌ترین نسبت عمق یعنی $1/25$ ، پاسخ‌ها در محدوده‌ی بالای حفره به سمت دامنه بحرانی نزدیک می‌شوند. بدیهی است این روند با افزایش زاویه موج و فرکانس بی‌بعد، سرعت و شدت بیشتر به خود می‌گیرد. نکته‌ی قابل توجه این است که با کاهش عمق، پاسخ سطح زمین علاوه بر حداکثر بزرگی، مقدار کمینه رانیز تجربه می‌کند، به طوری که پاسخ‌ها در نقاطی از سطح زمین به صفر نزدیک می‌شوند. همچنین در حالت موج مهاجم قائم اثر ایزولاسیون حفرات زیرزمینی در اعمق کم بیشتر نمایان می‌شود، به‌نحوی که با افزایش عمق تونل دامنه‌ی پاسخ‌ها بر روی سطح زمین بالای تونل افزایش می‌یابد.

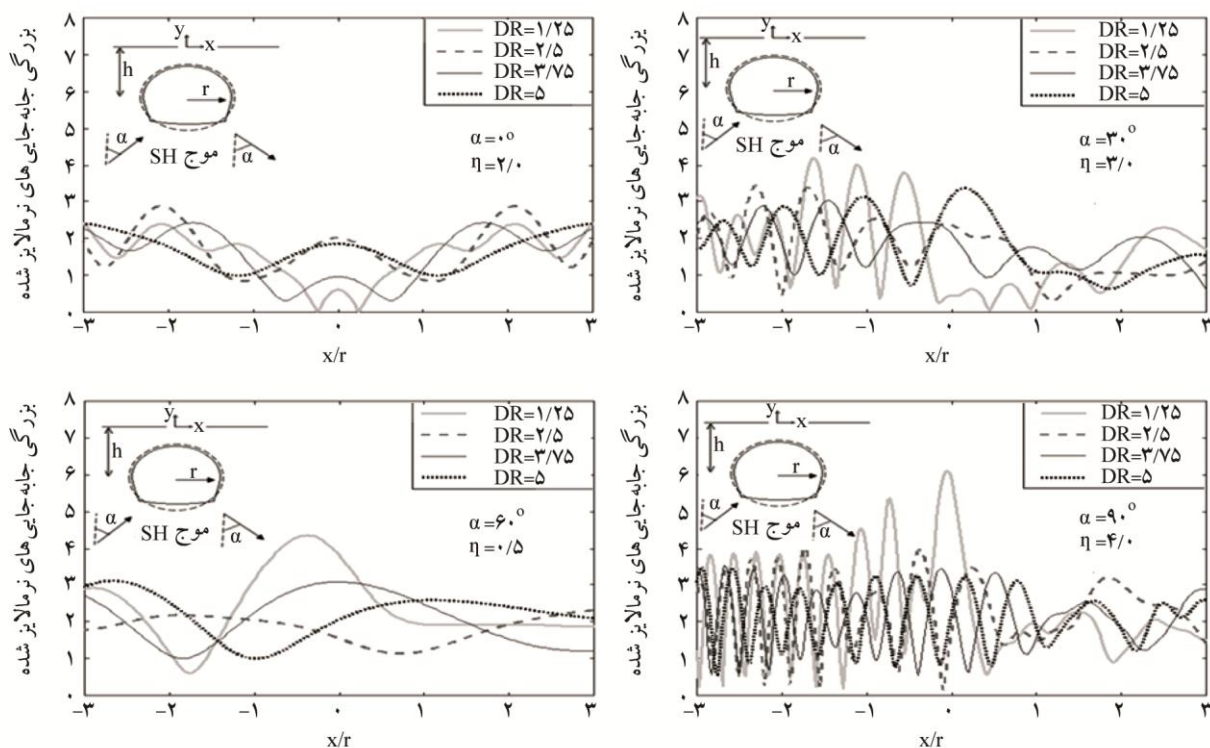
پاسخ به سرعت همگرا می‌شود. به طور کلی با افزایش عمق، تمرکز تفرق امواج بر روی سطح زمین کمتر شده و به اصطلاح توزیع می‌شوند. شایان ذکر است همان‌طور که در شکل (۶) نیز مشاهده می‌شود موضوع مذبور با افزایش زاویه موج مهاجم نیز صادق است.

۲-۲-۴- پاسخ در حوزه‌ی فرکانس

در شکل (۷) پاسخ سطح زمین در زوایا و فرکانس‌های بی‌بعد مختلف نشان داده شده است. چنانچه مشاهده می‌شود با افزایش عمق از دامنه نوسانات کاسته شده به‌طوری که در



شکل (۶): الگوی کلی پاسخ تاریخچه زمانی سطح زمین ناشی از حضور تونل نعل اسپی در اعمق مختلف در برابر هجوم امواج افقی SH.

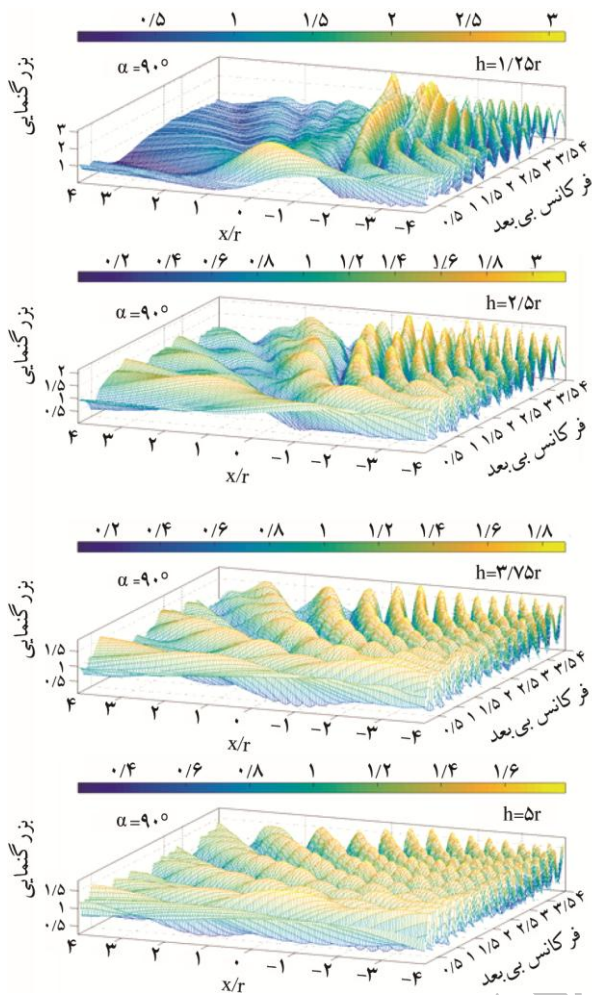


شکل (۷): تأثیر نسبت عمق بر روی پاسخ سطح زمین تحت زوایای مختلف هجوم موج.

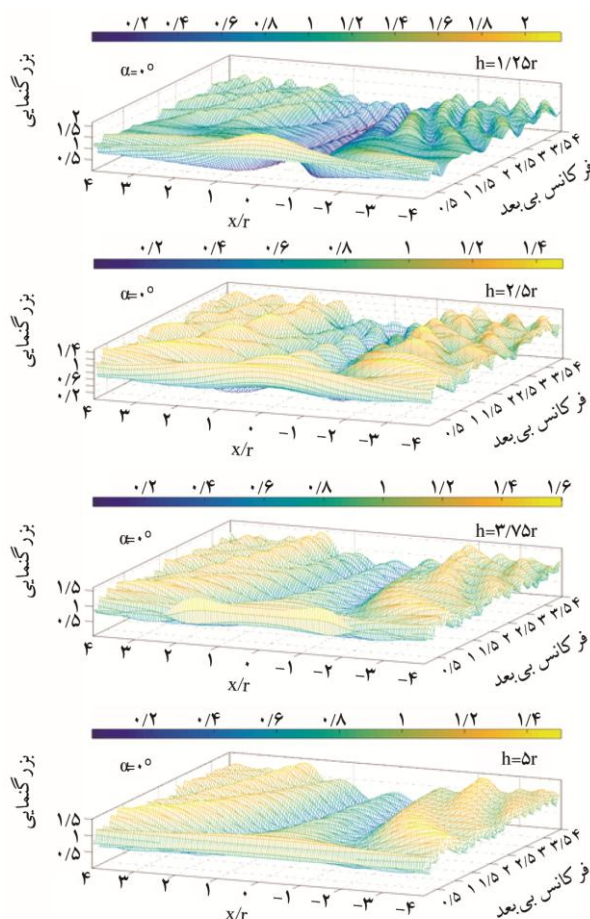
عمق تعداد نوسانات بیشتر را نمایان می‌سازد. همچنین با افزایش فرکانس، صمن افزایش بزرگنمایی، تونل نعل اسی پاسخ بحرانی را تجربه می‌کند. البته در این حالت نیز همانند موج قائم افزایش عمق، از میزان حد اکثر بزرگنمایی پاسخ می‌کاهد.

در شکل (۱۰) بزرگنمایی نقطه‌ی بالای تونل بر روی سطح زمین برسانید پریود بی بعد $T=1/\eta$ (بعد τ) برای نسبت عمق‌ها و زوایای مختلف به تصویر کشیده شده است. با توجه به رغبت دانش مهندسی به مشاهده پاسخ در محدوده پریودیک $0/25$ تا $8/33$ که متناظر با طول موج‌هایی با $0/25$ تا $8/33$ برابر عرض تونل هستند، آنچه در وهله اول رخ می‌دهد افزایش نوسان پاسخ است که همسو با عمیق‌تر شدن دره اتفاق می‌افتد. نکته‌ی جالب که در تمام شکل‌ها و زاویه‌ها به چشم می‌خورد بزرگنمایی حد اکثر است که برای کمترین نسبت عمق حاصل شده است. آنچه بدیهی است تعداد نوسانات با افزایش پریود بی بعد کم شده و پاسخ‌ها در انتهای به سمت بزرگنمایی واحد همگرا می‌شوند.

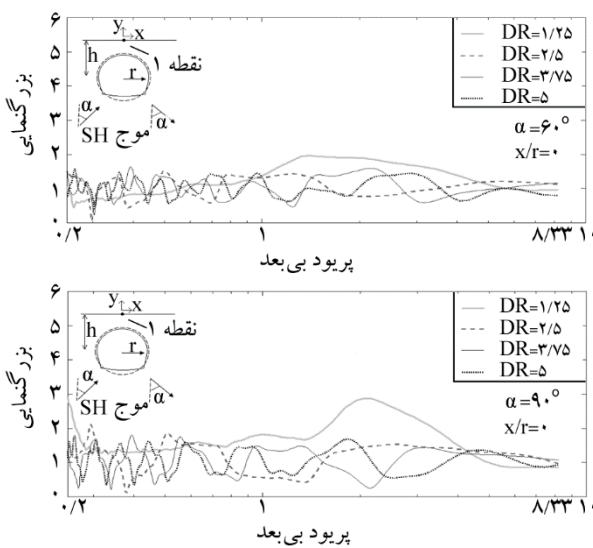
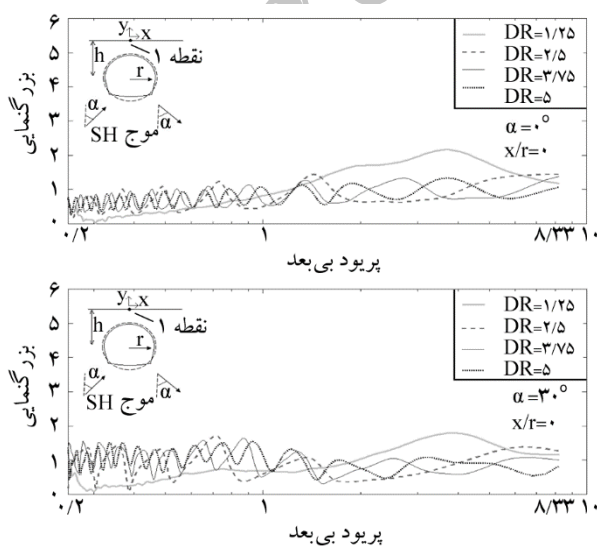
در شکل‌های (۸) و (۹) اثر نسبت عمق در الگوی کلی بزرگنمایی سطح زمین برای دو زاویه مختلف موج مهاجم نشان داده شده است. همان‌طور که در شکل (۸) مشاهده می‌شود تحت هجوم امواج قائم با افزایش عمق از میزان حد اکثر بزرگنمایی کاسته شده به طوری که دقیقاً بالای دیواره‌های چپ و راست تونل روی سطح زمین (۱-۲) کوچک‌نمایی به چشم می‌خورد. این در حالی است که بالای مرکز تونل روی سطح زمین پاسخ‌ها با بزرگنمایی روبه‌رو هستند. در واقع هر چه از امتداد مرکز تونل روی سطح زمین به سمت امتدادهای سمت چپ و راست آن حرکت می‌شود از میزان بزرگنمایی کاسته شده و مجدداً با افزایش روبه‌رو می‌شود. نکته‌ی جالب دیگر این است که با افزایش فرکانس بی بعد در دیواره‌ی کناری تونل (۱-۲) بزرگنمایی روند نزولی و با افزایش عمق از تعداد نوسانات پاسخ کاسته می‌شود. در شکل (۹) که موج مهاجم به صورت افقی وارد می‌شود، برخلاف هجوم امواج قائم، افزایش



شکل (۹): الگوی کلی بزرگنمایی سطح زمین ($-4r \leq x \leq 4r$) بر حسب فرکانس بی بعد برای تونل نعل اسپی در اعمق مختلف تحت هجوم امواج افقی SH.



شکل (۸): الگوی کلی بزرگنمایی سطح زمین ($-4r \leq x \leq 4r$) بر حسب فرکانس بی بعد برای تونل نعل اسپی در اعمق مختلف تحت هجوم امواج قائم SH.

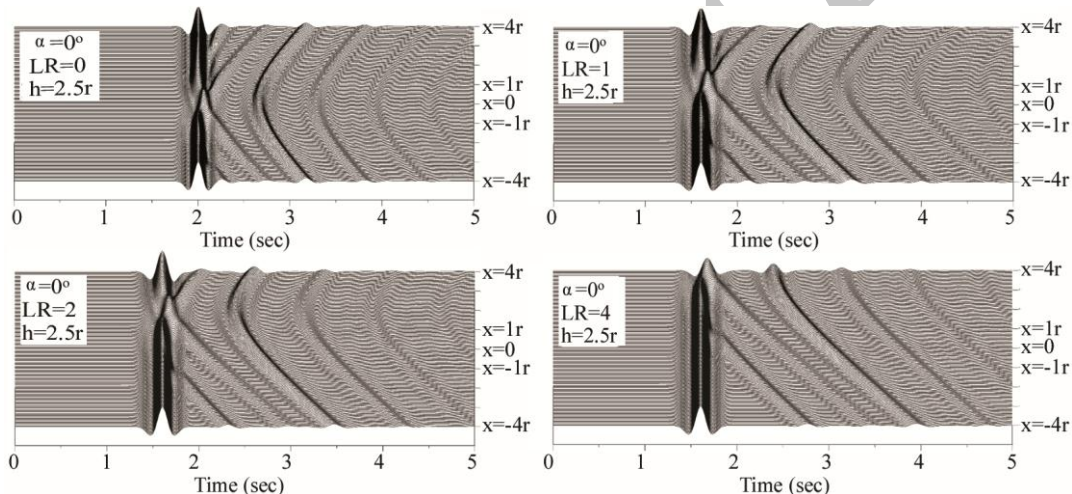


شکل (۱۰): اثر نسبت عمق بر روی بزرگنمایی سطح زمین بر حسب پریود بی بعد در نقطه $i/r=0$ در زوایای مختلف موج مهاجم.

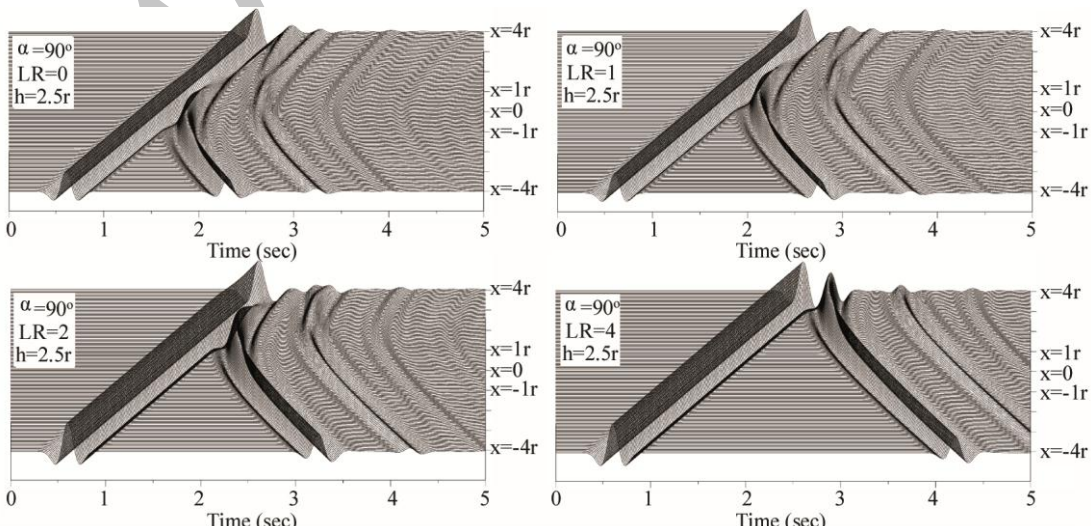
موقعیت افقی مختلف نشان داده شده است. همان‌طور که مشاهده می‌شود با تغییر مکان تونل در امتداد افق از میزان تمرکز تفرق امواج کاسته می‌شود. همسو با جابه‌جاوی تونل، انکسار امواج ناشی از سقف تونل و در پی آن محبوس شدگی به وقوع پیوسته به نحوی تغییر مکان یافته که با شیفت تونل تا دو برابر قطرش در محدوده‌ی مفروض بر روی سطح زمین تنها اثر امواج انعکاس یافته به چشم می‌خورد.

۲-۳-۴- پاسخ در حوزه‌ی فرکانس

در شکل‌های (۱۳) و (۱۴) تأثیر نسبت موقعیت افقی تونل بر الگوی کلی بزرگنمایی سطح زمین در محدوده‌ی مفروض



شکل (۱۱): الگوی کلی پاسخ تاریخچه زمانی سطح زمین در حضور تونل نعل اسی برای نسبت موقعیت افقی متفاوت تحت هجوم امواج قائم SH.



شکل (۱۲): الگوی کلی پاسخ تاریخچه زمانی سطح زمین در حضور تونل نعل اسی برای نسبت موقعیت افقی متفاوت تحت هجوم امواج افقی SH.

۳-۴-۱- اثر نسبت موقعیت افقی^{۱۳}

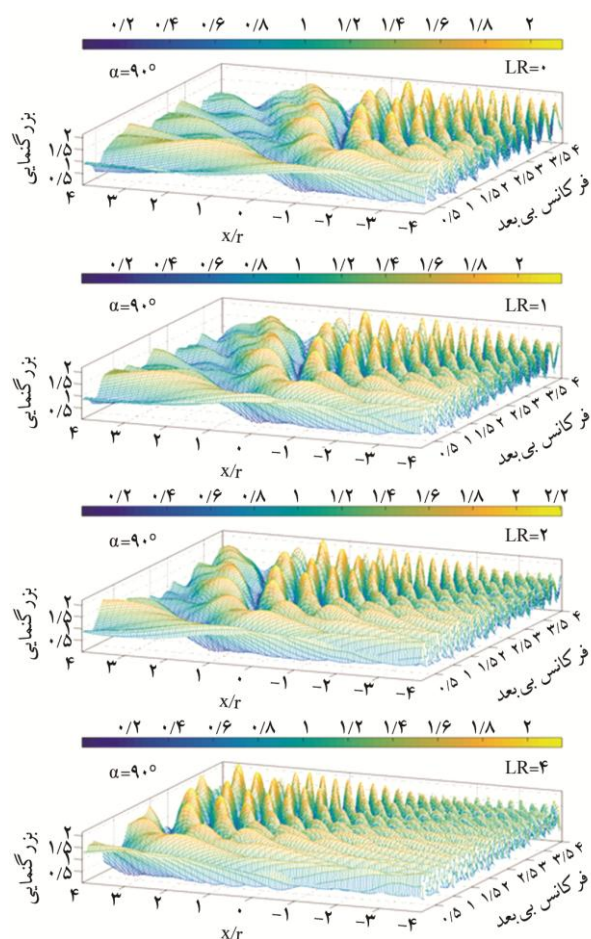
با انتقال تونل در راستای افق و در یک عمق ثابت همخوان با تونل متروی کرج (DR=2.5)، پارامتر نسبت موقعیت افقی (LR) تعریف شد [۴۶ و ۲۶]. برای بررسی این پارامتر چهار موقعیت افقی مفروض (۰، ۱، ۲، ۴) تحت بررسی قرار گرفت. شکل‌های (۱۱) تا (۱۵) تأثیر موقعیت افقی را بر پاسخ سطح آزاد زمین نمایش می‌دهند.

۳-۴-۲- پاسخ در حوزه‌ی زمان

در شکل‌های (۱۱) و (۱۲) الگوی کلی پاسخ تاریخچه زمانی سطح زمین به ترتیب برای امواج مهاجم قائم و افقی در نسبت

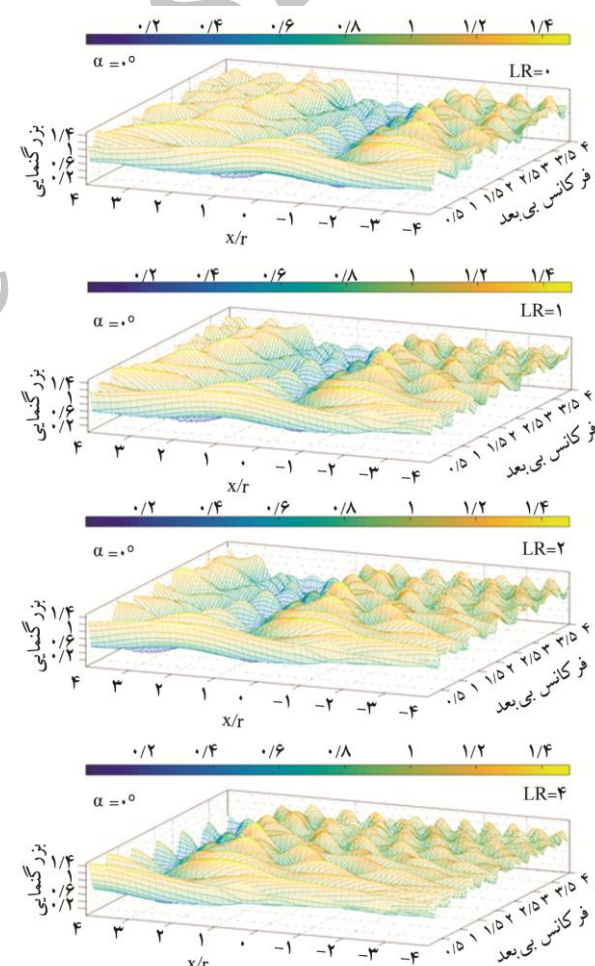
به مراتب بزرگ‌تر از دیواره‌ها نتیجه می‌شود. نتایج مذکور متناظرًا برای شکل (۱۴) صادق نیست و در این محدوده با افزایش فرکانس بی بعد، بزرگنمایی با کاهش رو به رو است.

در شکل (۱۵) اثر نسبت موقعیت افقی بر روی الگوی بزرگنمایی سطح زمین بر حسب پریود بی بعد در نقطه‌ی $x/r = 0$ تحت زوایای مختلف موج مهاجم نشان داده شده است. همان‌طور که مشاهده می‌شود افزایش زاویه‌ی موج در محدوده‌ی پریودیک کمتر از واحد نه تنها بر روی تعداد نوسانات بلکه بر دامنه‌ی آنها نیز تأثیر گذاشته است. لازم به ذکر است که در یک زاویه‌ی ثابت موج مهاجم، با افزایش نسبت افقی در دامنه‌ی بزرگنمایی حاصل تغییرات محسوس مشاهده نمی‌شود.

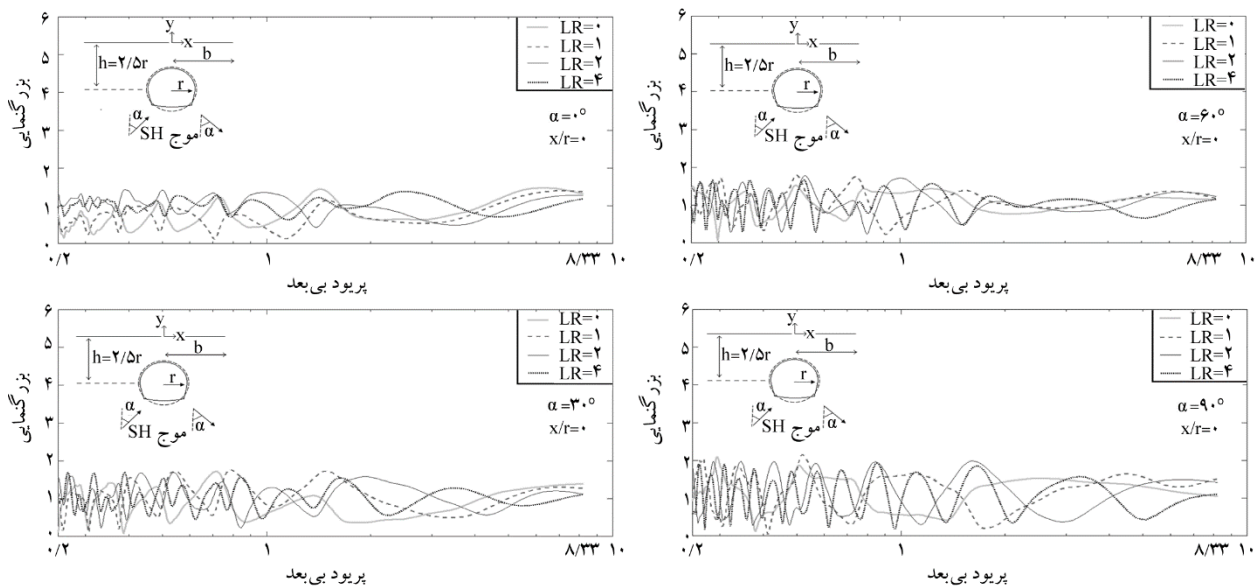


شکل (۱۴): تأثیر نسبت موقعیت افقی بر الگوی کلی بزرگنمایی سطح زمین ($-4r \leq x \leq 4r$) بر حسب فرکانس بی بعد برای تونل نعل اسپی تحت هجوم امواج افقی SH.

$x \leq 4r$) نشان داده شده است. به طور کلی می‌توان اذعان داشت که با افزایش این نسبت تعداد نوسان افزایش می‌یابد. همچنین، افزایش زاویه‌ی موج مهاجم نیز بر میزان بزرگنمایی می‌افزاید. نکته‌ی جالب قابل مشاهده در پاسخ‌ها مقدار حدکث بزرگنمایی است که تقریباً در نسبت موقعیت‌های افقی مختلف یکسان است. شایان ذکر است وقتی موج مهاجم به صورت قائم وارد می‌شود (شکل (۱۳)) همانند شکل (۸)، در امتداد دیواره‌های چپ و راست تونل بر روی سطح زمین ($-r \leq x \leq r$) بزرگنمایی به طرز چشمگیر کاهش می‌یابد. این موضوع در حالی است که در امتداد مرکز تونل روی سطح زمین، پاسخ‌ها با بزرگنمایی

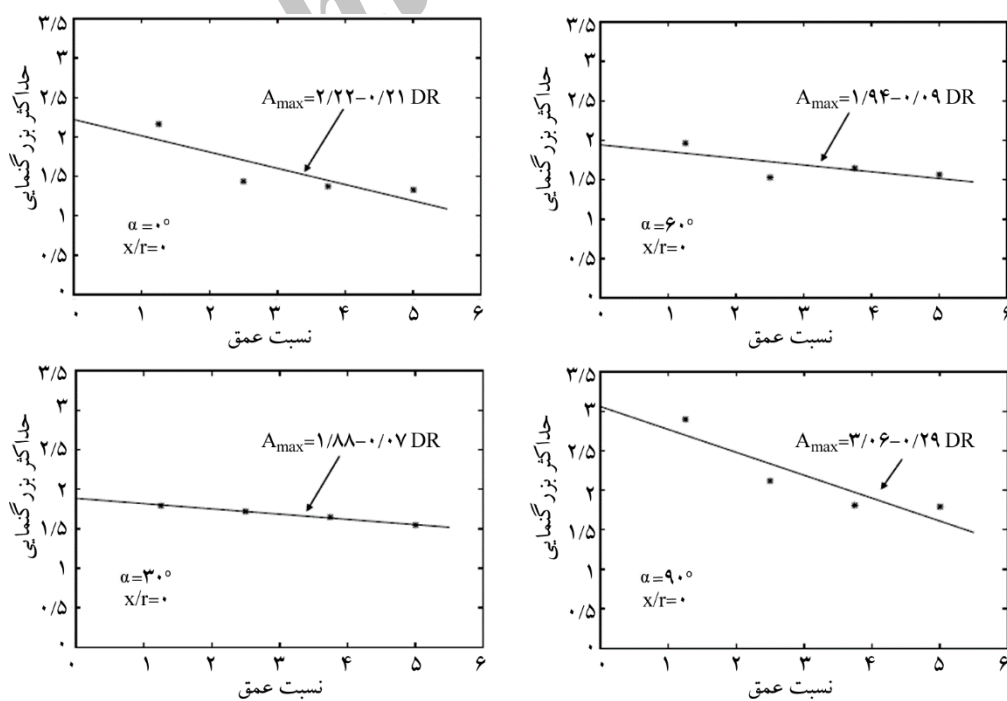


شکل (۱۳): تأثیر نسبت موقعیت افقی بر الگوی کلی بزرگنمایی سطح زمین ($-4r \leq x \leq 4r$) بر حسب فرکانس بی بعد برای تونل نعل اسپی تحت هجوم امواج افقی SH.



شکل (۱۵): تأثیر نسبت موقعیت افقی بر رودی بزرگنمایی سطح زمین بر حسب پریود بی بعد در نقطه $x/r=0$ برای زوایای مختلف موج مهاجم.

موج مهاجم افقی و موج مهاجم با زاویه $\alpha = 30^\circ$ است. آنچه مسلم است افزایش عمق همواره با شیب منفی رخ داده و در کمینه‌سازی میزان بزرگنمایی سطح زمین مشارکت می‌نماید. آنچه که در شکل (۱۶) نشان داده شده به صورت جدول (۱) نیز در پریودهای بی بعد نظر نمایش داده شده است.



شکل (۱۶): برآذش خطی از حداکثر بزرگنمایی بر حسب نسبت عمق برای زوایای مختلف موج مهاجم SH.

۴-۴- بزرگنمایی حداکثر

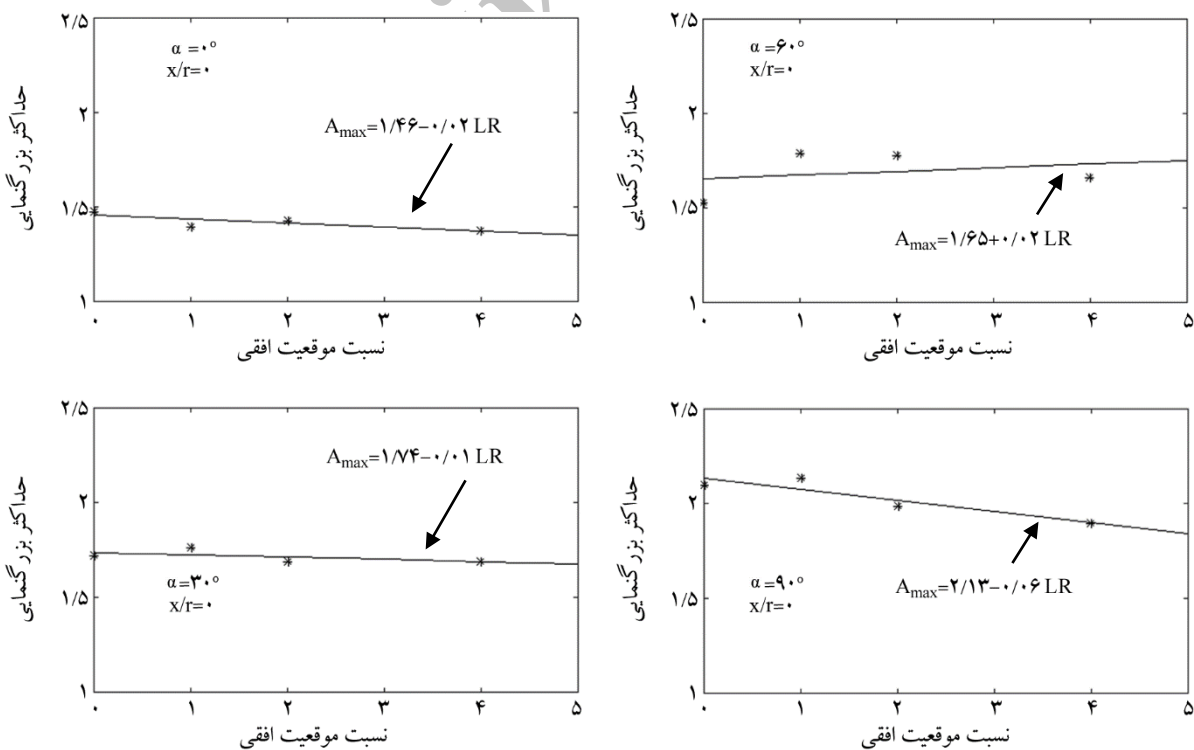
با برآذش خطی از حداکثر بزرگنمایی حاصل در نسبت عمق‌های مختلف، شکل (۱۶) برای زوایای مختلف موج مهاجم در نقطه مرکزی سطح زمین به دست آمده است. چنانچه مشاهده می‌شود حداکثر و حداقل شیب خط به ترتیب متعلق به

جدول (۱): حداکثر بزرگنمایی بر حسب پریود بی بعد در زوایا و نسبت عمق‌های مختلف توپل.

$\alpha = 90^\circ$	$\alpha = 60^\circ$	$\alpha = 30^\circ$	$\alpha = 0^\circ$	زاویه‌ی موج مهاجم				
بزرگنمایی حداکثر	پریود بی بعد	بزرگنمایی حداکثر	پریود بی بعد	بزرگنمایی حداکثر	پریود بی بعد	بزرگنمایی حداکثر	پریود بی بعد	مشخصات نقاط نسبت عمق
۲/۸۷۲۰	۲/۱۰۱۰	۱/۹۶۲۰	۱/۳۸۸۰	۱/۷۹۵۰	۳/۹۰۱۰	۲/۱۶۵۰	۳/۷۲۴۰	۱/۲۵
۲/۱۱۳۰	.۰/۲۹۴۵	۱/۵۲۸۰	.۰/۴۹۹۵	۱/۷۲۰۰	.۰/۷۱۸۶	۱/۴۴۰۰	۱/۴۳۷۰	۲/۵۰
۱/۸۰۵۰	.۰/۳۹۳۸	۱/۶۴۲۰	.۰/۳۹۳۸	۱/۶۴۴۰	.۰/۸۷۱۵	۱/۳۷۳۰	.۸/۱۹۲۰	۳/۷۵
۱/۷۹۵۰	.۰/۲۶۲۶	۱/۵۶۸۰	.۰/۲۶۴۳	۱/۵۴۳۰	.۰/۹۳۰۹	۱/۳۲۹۰	۳/۷۲۴۰	۵/۰۰

نامحسوس بزرگنمایی سطح زمین را نسبت به جابه‌جایی افقی توپل به تصویر می‌کشد. در جدول (۲) مقادیر نشان داده شده در شکل (۱۷) در پریودهای بی بعد متانظر برای زوایای مختلف موج مهاجم قابل مشاهده می‌باشد.

در شکل (۱۷) نیز برآش خطی از حداکثر بزرگنمایی حاصل بر حسب نسبت موقعیت افقی در زوایای مختلف موج مهاجم نشان داده شده است. چنانچه مشاهده می‌شود برخلاف نسبت عمق، در این حالت شب منفی نمودارها اندک بوده و تغییرات



شکل (۱۷): برآش خطی از حداکثر بزرگنمایی بر حسب نسبت عمق برای زوایای مختلف موج مهاجم SH.

جدول (۲): حداکثر بزرگنمایی بر حسب پریود بی بعد در زوایا و نسبت موقعیت‌های مختلف تونل.

$\alpha=90^\circ$	$\alpha=60^\circ$	$\alpha=30^\circ$	$\alpha=0^\circ$	زاویه‌ی موج مهاجم
بزرگنمایی حداکثر	پریود بی بعد	بزرگنمایی حداکثر	پریود بی بعد	بزرگنمایی حداکثر
۲/۰۹۰۷	۰/۲۹۴۷	۱/۵۲۷۰	۰/۵۰۲۶	۱/۷۲۰۰
۲/۱۳۸۰	۰/۵۱۸۵	۱/۷۸۸۰	۰/۵۰۲۶	۱/۷۶۳۰
۱/۹۸۵۰	۱/۶۰۶۰	۱/۷۷۷۰	۰/۵۳۱۹	۱/۶۸۸۰
۱/۸۹۸۰	۰/۲۶۱۷	۱/۶۶۳۰	۰/۵۲۸۵	۱/۶۹۱۰
				مشخصات نقاط نسبت موقعیت افقی
				۰/۰۰
				۱/۰۰
				۲/۰۰
				۴/۰۰

۳- از مشاهده‌ی الگوی کلی بزرگنمایی سطح زمین، اثر ایزولاسیون حضور تونل در جبهه‌ی مخالف موج به‌وضوح نمایان شد به‌طوری‌که در عمق حداقل و در هجوم موج افقی برای نقاط دور از جبهه نوسان اندازک تجربه شد.

۴- مطابق آنچه در ادبیات فنی برای امواج درون صفحه اشاره شده است [۴۰]، برای امواج بروون صفحه‌ی SH نیز صادق است به‌طوری‌که با افزایش طول موج مهاجم تا هشت برابر عرض تونل، تقریباً بزرگنمایی به سمت حرکت آزاد سطح زمین همگرا شد.

۵- از برآذش خطی حداکثر بزرگنمایی مشاهده شد پارامتر نسبت عمق در قیاس با موقعیت افقی تونل در کاهش بزرگنمایی مؤثرتر است به‌نحوی‌که شبیه نزولی نمودارها در تغییرات عمق بیشینه شدند.

مراجع

1. Sgarlato, G., Lombardo, G., and Rigano, R. (2011) Evaluation of seismic site response nearby underground cavities using earthquake and ambient noise recordings: A case study in Catania area, Italy. *Engineering Geology*, **122**(3), 281-291.
2. Kazemeini, M.J., Haghshenas, E., and Kamalian, M. (2015) Experimental evaluation of seismic site response over and nearby underground cavities (study of subway tunnel in city of Karaj, Iran). *Iranian Journal of Science and Technology Transactions of Civil Engineering*, **39**(C2), 319-332.

۵- نتیجه‌گیری

در این مقاله تونل زیرزمینی نعل اسپی بدون پوشش برای تعیین پاسخ لرزه‌ای سطح زمین و الگوی بزرگنمایی حاصل تحت امواج مهاجم SH مدل‌سازی شده و از مشخصات هندسی تونل خط دوم متروی کرج برای مطالعه‌ی پارامتریک بهره گرفته شد. از روش اجزای مرزی نیم‌صفحه در حوزه‌ی زمان که پیشتر توسط مؤلفان پیشنهاد شده [۴۴-۴۸] برای مدل‌سازی تونل زیرزمینی مزبور استفاده شد. تمرکز مشبندي تنها بر روی پیرامون تونل و عدم نیاز به گسسته‌سازی سطح زمین، نه تنها دقت پاسخ‌ها را افزایش داده بلکه حجم ورودی و محاسبات را در تقابل با روش‌های اجزای مرزی محیط کامل کاهش داد [۳۶-۴۰]. از صحت‌سنجی نتایج حاصل با پاسخ‌های تحلیلی موجود در ادبیات فنی دقت مناسب روش پیشنهاد شده در مدل‌سازی تونل‌های زیرزمینی مبین گردید. نتایج حاصل از مطالعه‌ی پارامتریک برای نسبت‌های مختلف عمق، موقعیت افقی تونل و زاویه‌ی موج مهاجم به صورت زیر قابل جمع‌بندی است:

- ۱- با افزایش نسبت عمق تونل نه تنها تعداد نوسان پاسخ بلکه دامنه‌ی آن نیز با کاهش قابل توجه مواجه شد.
- ۲- با افزایش نسبت عمق تونل، لحظه‌ی همگرایی تاریخچه زمانی پاسخ سطح زمین در کلیه‌ی زوایای هجوم موج تقریباً ۳۰٪ به تأخیر افتاد. به‌طور مشابه این موضوع برای نسبت موقعیت افقی نیز برقرار گردید.

- Iguacu, Brazil.
14. Amornwongpaibun, A., Luo, H., and Lee, V.W. (2016) Scattering of Anti-Plane (SH) Waves by a Shallow Semi-Elliptical Hill with a Concentric Elliptical Tunnel. *Journal of Earthquake Engineering*, **20**(3), 363-382.
15. Gao, Y., Dai, D., Zhang, N., Wu, Y., and Mahfouz, A.H. (2016) Scattering of Plane and Cylindrical SH Waves by a Horseshoe Shaped Cavity. *Journal of Earthquake and Tsunami*, **11**(2), 1650011, 1-23.
16. Wang, G. and Liu, D. (2002) Scattering of SH-wave by multiple circular cavities in half space. *Earthquake Engineering and Engineering Vibration*, **1**(1), 36-44.
17. Shi, W.P., Liu, D.K., Song, Y.T., Chu, J.L., and Hu, A.Q. (2006) Scattering of circular cavity in right-angle planar space to steady SH-wave. *Applied Mathematics and Mechanics*, **27**(12), 1619-1626.
18. Lee, V.W., Manoogian, M.E., and Chen, S. (2002) Antiplane SH-deformations near a surface rigid foundation above a subsurface rigid circular tunnel. *Earthquake Engineering and Engineering Vibration*, **1**(1), 27-35.
19. Smerzini, C., Aviles, J., Paolucci, R., and Sánchez-Sesma, F.J. (2009) Effect of underground cavities on surface earthquake ground motion under SH wave propagation. *Earthquake Engineering and Structural Dynamics*, **38**(12), 1441-1460.
20. Liu, D.K. and Lin H. (2004) Scattering of SH-waves by an interacting interface linear crack and a circular cavity near bimaterial interface. *Acta Mechanica Sinica*, **20**(3), 317-326.
21. Tsaur, D.H. and Chang, K.H. (2012) Multiple scattering of SH waves by an embedded truncated circular cavity. *J. Mar. Sci. Tech.*, **20**(1), 73-81.
22. Lee, K.M. and Rowe, R.K. (1991) An analysis of three-dimensional ground movements: the Thunder Bay tunnel. *Canadian Geotechnical Journal*, **28**(1), 25-41.
23. Molinero, J., Samper, J., and Juanes, R. (2002) Numerical modeling of the transient hydrogeological response produced by tunnel
3. Panji, M., Kamalian, M., Asgari Marnani, J., and Jafari, M.K. (2013a) The literature review of seismic analysis of topographic features subjected to incident SH-waves. *IIEES Res. Bull.*, **15**(4), 21-35 (in Persian).
4. Asano, S. (1960) Reflection and refraction of elastic waves at a corrugated boundary surface, Part I, The Case of Incidence of SH Wave. *Bulletin of the Earthquake Research Institute*, **38**, 177-197.
5. Datta, S.K. (1974) Diffraction of SH-waves by an elliptic elastic cylinder. *International Journal of Solids and Structures*, **10**(1), 123-133.
6. Gamer, U. (1977) Dynamic stress concentration in an elastic half space with a semi-circular cavity excited by SH waves. *International Journal of Solids and Structures*, **13**(7), 675-681.
7. Lee, V.W. and Trifunac, M.D. (1979) Response of tunnels to incident SH waves. *Journal of the Engineering Mechanics Division*, **105**(4), 643-659.
8. Chen, Y.L. (1980) The analysis of elastic liner in a cylindrical tunnel subjected to SH-waves. *Journal of the Chinese Institute of Engineers*, **3**(1), 21-29.
9. Datta, S.K. and Shah, A.H. (1982) Scattering of SH waves by embedded cavities. *Wave Motion*, **4**(3), 265-283.
10. Lee, V.W. and Manoogian, M.E. (1995) Surface motion above an arbitrary shape underground cavity for incident SH waves. *European Earthquake Engineering*, **8**(1), 3-11.
11. Manoogian, M.E. (2000) Scattering and diffraction of SH waves above an arbitrarily shaped tunnel. *ISET Journal of Earthquake Technology*, **37**(1-3), 11-26.
12. Liang, J., Luo, H., and Lee, V.W. (2010) Diffraction of plane SH waves by a semi-circular cavity in half-space. *Earthquake Science*, **23**(1), 5-12.
13. Yi, C., Zhang, P., Johansson, D., and Nyberg, U. (2014) Dynamic analysis for a circular lined tunnel with an imperfectly bonded interface impacted by plane SH-waves. *Proceedings of the World Tunnel Congress 2014 – Tunnels for a better Life*. Foz do

33. Liu, Z. and Liu, L. (2015) An IBEM solution to the scattering of plane SH-waves by a lined tunnel in elastic wedge space. *Earthquake Science*, **28**(1), 71-86.
34. Benites, R., Aki, K., and Yomogida, K. (1992) Multiple scattering of SH waves in 2-D media with many cavities. *Pure and Applied Geophysics*, **138**(3), 353-390.
35. Takemiya, H. and Fujiwara, A. (1994) SH-wave scattering and propagation analyses at irregular sites by time domain BEM. *Bulletin of the Seismological Society of America*, **84**(5), 1443-1455.
36. Kamalian, M., Gatmiri, B., and Sohrabi-Bidar, A. (2003) On time-domain two-dimensional site response analysis of topographic structures by BEM. *J. Seism. Earthq. Eng.*, **5**(2), 35-45.
37. Kamalian, M., Jafari, M.K., Sohrabi-Bidar, A., Razmkhah, A., and Gatmiri, B. (2006) Time-domain two dimensional site response analysis of non-homogeneous topographic structures by a hybrid FE/BE method. *Soil Dyn. Earthq. Eng.*, **26**(8), 753-765.
38. Kamalian, M., Gatmiri, B., Sohrabi-Bidar, A., and Khalaj, A. (2007) Amplification pattern of 2D semi-sine shaped valleys subjected to vertically propagating incident waves. *Commun. Numer. Methods Eng.*, **23**(10), 871- 887.
39. Kamalian, M., Jafari, M.K., Ghayamghamian, M.R., Shafee, A., Hamzehloo, H., Haghshenas, E., and Sohrabi-Bidar, A. (2008) Site effect microzonation of Qom, Iran. *Engineering Geology*, **97**(1), 63-79.
40. Alielahi, H., Kamalian, M., Asgari Marnani, J., Jafari, M.K., and Panji, M. (2013) Applying a time-domain boundary element method for study of seismic ground response in the vicinity of embedded cylindrical cavity. *International Journal of Civil Engineering*, **15**(1), 45-54.
41. Rice, J.M. and Sadd, M.H. (1984b) A note on computing elastodynamic full field displacements arising from subsurface singular sources. *Mech. Res. Comm.*, **11**(6), 385-390.
- construction in fractured bedrocks. *Engineering Geology*, **64**(4), 369-386.
24. Yiouta-Mitra, P., Kouretzis, G., Bouckovalas, G., and Sofianos, A. (2007) Effect of underground structures in earthquake resistant design of surface structures. *Dynamic Response and Soil Properties*, 1-10.
25. Besharat, V., Davoodi, M., and Jafari, M.K. (2012, September) Effect of underground structures on free-field ground motion during earthquakes. *15th World Conference on Earthquake Engineering*, Lisbon, Portugal.
26. Dehghan, A.N., Shafee, S.M., and Rezaei, F. (2012) 3-D stability analysis and design of the primary support of Karaj metro tunnel: Based on convergence data and back analysis algorithm. *Engineering Geology*, 141-149.
27. Shen, Y., Gao, B., Yang, X., and Tao, S. (2014) Seismic damage mechanism and dynamic deformation characteristic analysis of mountain tunnel after Wenchuan earthquake. *Engineering Geology*, **180**, 85-98.
28. Xu, N.W., Li, T.B., Dai, F., Li, B., Zhu, Y.G., and Yang, D.S. (2015) Microseismic monitoring and stability evaluation for the large scale underground caverns at the Houziyan hydropower station in Southwest China. *Engineering Geology*, **188**, 48-67.
29. Beskos, D.E. (1987) Boundary element methods in dynamic analysis. *Appl. Mech. Rev.*, **40**(1), 1-23.
30. Luco, J.E., and De Barros, F.C.P. (1994) Dynamic displacements and stresses in the vicinity of a cylindrical cavity embedded in a half-space. *Earthquake Engineering and Structural Dynamics*, **23**(3), 321-340.
31. Yu, M.C. and Dravinski, M. (2009) Scattering of a plane harmonic SH wave by a completely embedded corrugated scatterer. *Int. J. Numer. Methods Eng.*, **78**, 196-214.
32. Parvanova, S.L., Dineva, P.S., Manolis, G.D., and Wuttke, F. (2014) Seismic response of lined tunnels in the half-plane with surface topography. *Bulletin of Earthquake Engineering*, **12**(2), 981-1005.

- Dynamics. Computational Mechanics Publications, Southampton, UK.
53. Ohtsu, M. and Uesugi, S. (1985) Analysis of SH wave scattering in a half space and its applications to seismic responses of geological structures. *Eng. Anal.*, **2**(4), 198-204.
- واژه‌نامه**
- | | |
|---------------------------------------|----------------------------|
| Half-plane Boundary Element Method | ۱- روش اجزای مرزی نیم صفحه |
| Ricker Wavelet | ۲- موجک ریکر |
| Weighted Residual Method | ۳- روش باقی‌مانده وزن‌دار |
| Finite Element Method (FEM) | ۴- روش اجزای محدود |
| Finite Difference Method (FDM) | ۵- روش اختلاف محدود |
| Volumetric Methods | ۶- روش‌های حجمی |
| Boundary Element Method (BEM) | ۷- روش اجزای مرزی |
| Dimensionless Frequency | ۸- فرکانس بی‌بعد |
| Dynamic Analysis of Structures by BEM | ۹- داس.بم |
| Heaviside Functions | ۱۰- توابع هویساید |
| Depth Ratio | ۱۱- نسبت عمق |
| Dimensionless Period | ۱۲- پریود بی‌بعد |
| Horizontal Location Ratio | ۱۳- نسبت موقعیت افقی |
- فهرست علاوه**
- ۱- گام زمانی Δt
- بردار نرمال عمود بر صفحه n
- تعداد گام زمانی N
- دانسیته خاک پیرامون تونل ρ
- سرعت موج برشی c
- محور جایه‌جایی تونل در راستای افق b
- پریود بی‌بعد T
- بزرگنمایی حداکثر A_{max}
42. Belytschko, T. and Chang, H.S. (1988) Simplified direct time integration boundary element method. *J. Eng. Mech.*, ASCE, **114**(1), 117-134.
43. Hirai, H. (1988) Analysis of transient response of SH wave scattering in a half space by the boundary element method. *Engineering Analysis*, **5**(4), 189-194.
44. Panji, M. (2013) *Seismic Analysis of Topographic Features due to Propagating Incident SH-Waves by Half-Plane Time-Domain BEM*. Ph.D. Dissertation, Islamic Azad University, Science and Research Branch, Tehran, Iran (in Persian).
45. Panji, M., Kamalian, M., Marnani, J.A., and Jafari, M.K. (2013b) Transient analysis of wave propagation problems by half-plane BEM. *Geophysical Journal International*, **194**(3), 1849-1865.
46. Panji, M., Kamalian, M., Marnani, J.A., and Jafari, M.K. (2014a) Antiplane seismic response from semi-sine shaped valley above embedded truncated circular cavity: a time-domain half-plane BEM. *Int. J. Civil Eng.*, **12**(2), 193-206.
47. Panji, M., Kamalian, M., Marnani, J.A., and Jafari, M.K. (2014b) Amplification pattern of semi-sine shaped valleys subjected to vertically propagating incident SH waves. *J. Computational Methods Eng.*, **32**(2), 87-111 (in Persian).
48. Panji, M., Kamalian, M., Marnani, J.A., and Jafari, M.K. (2014c) Analyzing seismic convex topographies by a half-plane time-domain BEM. *Geophysical Journal International*, **197**(1), 591-607.
49. Morse, P.M. and Feshbach, H. (1953) *Methods of Theoretical Physics*. McGraw-Hill Book Company, McGraw-Hill Book Company, New York.
50. Eringen, A.C. and Suhubi, E.S. (1975) *Elastodynamics*. Academic Press, New York.
51. Brebbia, C.A. and Dominguez, J. (1989) *Boundary Elements, an Introductory Course*. Computational Mechanics Publications, Southampton, UK.
52. Dominguez, J. (1993) *Boundary Elements in*

u تغییر مکان مرزی

u^* حل اساسی تغییر مکان نیم صفحه

α زاویه‌ی موج مهاجم

λ طول موج مهاجم

η فرکانس بی بعد پاسخ

r شعاع تونل

h عمق مدفون تونل

DR نسبت عمق تونل

a_{max} دامنه حداکثر موجک ریکر

LR نسبت موقعیت افقی تونل

q تنش مرزی

q^* حل اساسی تنش نیم صفحه